# 子华海化的飨染志®

ZHONGHUA XIAOHUA NEIJING ZAZHI

2024年3月 第41卷 第3期

Volume 41 Number 3 March 2024



CHINESE MEDICAL ASSOCIATION

ISSN 1007-5232



# 消化内统系

## CHINESE JOURNAL OF DIGESTIVE ENDOSCOPY



月刊 1996年8月改刊 第41卷 第3期 2024年3月20日出版

微信: xhnjxw

## 主 管

中国科学技术协会

## 主办

中华医学会 100710,北京市东四西大街42号

## 编

中华消化内镜杂志编辑委员会 210003,南京市紫竹林3号 电话:(025)83472831,83478997 传真:(025)83472821 Email:xhnj@xhnj.com http://www.zhxhnjzz.com http://www.medjournals.cn

## 总编辑

张澍田

## 编辑部主任

唐涌进

## 出版

《中华医学杂志》社有限责任公司 100710,北京市东四西大街42号 电话(传真):(010)51322059 Email:office@cmaph.org

## 广告发布登记号

广登32010000093号

## 印刷

江苏省地质测绘院

## 发 行

范围:公开

国内:南京报刊发行局 国外:中国国际图书贸易集团 有限公司 (北京 399 信箱, 100048) 代号 M4676

## 订 购

全国各地邮政局 邮发代号 28-105

## 邮

中华消化内镜杂志编辑部 210003,南京市紫竹林3号 电话:(025)83472831 Email; xhnj@xhnj.com

## 定价

每期25.00元,全年300.00元

## 中国标准连续出版物号

ISSN 1007-5232

CN 32-1463/R

## 2024年版权归中华医学会所有

未经授权,不得转载、摘编本刊 文章,不得使用本刊的版式设计

除非特别声明,本刊刊出的所有 文章不代表中华医学会和本刊 编委会的观点

本刊如有印装质量问题,请向本刊 编辑部调换

## 目 次

共识与排	旨南
------	----

## 短篇论著

胆管支架联合光动力和(或)射频消融治疗在肝外胆管癌中的应用	230
王佳 金立鵬 丛羽晨 张航 孟毓珊 谢丛 毛庆东 薛魁金 綦鵬 何宝国 鞠辉 毛涛 魏良洲	
田字彬 曹彬	
病例报道	
内镜下切除胃丛状血管黏液样肌纤维母细胞瘤1例	236
姜雨婷 郑晓玲	
前列腺癌术后自动结扎夹移位表现为直肠黏膜下肿瘤1例	239
阿依木克地斯·亚力孔 齐志鹏 賀东黎 周平红 钟芸诗	
胶原基质生物膜治疗盆腔放疗后的难治性放射性肠炎1例(含视频)	241
庄颖佳 王频 戴建武 陈敏 邹晓平	
综	
消化道全层缺损内镜下闭合方式的研究进展	244
许青芃 李锐	
儿童肠道准备质量的影响因素及其研究进展	248
范娜 李元霞 江逊	
读者・作者・编者	
《中华消化内镜杂志》2024年可直接使用英文缩写的常用词汇	183
《中华消化内镜杂志》2024年征订启事 · · · · · · · · · · · · · · · · · · ·	223
《中华消化内镜杂志》对来稿中统计学处理的有关要求	235
插页目次	203
大利亳约贝第 41 券第 1 期第 82 页	

## 本期责任编辑 钱程

## 本刊编辑部工作人员联系方式

唐涌进, Email: tang@xhnj.com 周 昊,Email:zhou@xhnj.com 顾文景, Email: gwj@xhnj.com

朱 悦, Email: zhuyue@xhnj.com 钱 程, Email: qian@xhnj.com 许文立, Email: xwl@xhnj.com

本刊投稿方式

登录《中华消化内镜杂志》官方网站http://www.zhxhnjzz.com进行在线投稿。







周





朱 悦

钱 程

许文立

(扫码添加编辑企业微信)

•论著•

## 内镜下光动力治疗联合支架置入在不可切除肝门部胆管癌梗阻性黄疸中的疗效分析

王刚'汤海正'冯虎'黄浩'徐凯<sup>2</sup> 魏亚军'徐世波'吴波<sup>3</sup> 王成<sup>1</sup> 中国科学技术大学附属第一医院(安徽省立医院)胆胰外科 中国科学技术大学生命科学与医学部,合肥 230001;<sup>2</sup>安徽省第二人民医院普外科,合肥 230041;<sup>3</sup>铜陵市人民医院普外科,铜陵 244000

通信作者: 王成, Email: shengyiwangcheng@126.com

【摘要】目的 探讨内镜下光动力治疗(photodynamic therapy, PDT)联合胆管支架置入在不可切除肝门部胆管癌梗阻性黄疸中的临床疗效。方法 回顾性分析 2020年1月至2023年1月中科大附一院(40例)和铜陵市人民医院(3例)收治的共43例不可切除肝门部胆管癌发生梗阻性黄疸的患者临床资料,支架组(n=23)单纯置入胆管支架,联合组(n=20)行 PDT联合胆管支架置入。对比两组患者的胆红素下降程度、支架通畅期、术后卡氏行为评分、并发症发生情况及预后情况。采用 Cox 回归分析患者生存期的影响因素。结果 支架组和联合组一般资料比较差异无统计学意义(P>0.05)。术后联合组的支架通畅时间为 204.53 d(95%CI:143.75~265.32 d),长于支架组的 138.36 d(95%CI:95.38~181.34 d),差异无统计学意义(P=0.091)。支架组和联合组术后 1 周中位胆红素下降值分别为 30.10  $\mu$ mol/L和 9.40  $\mu$ mol/L,差异无统计学意义(Z=-0.243, P=0.808)。支架组和联合组术后 1 个月 [(69.09±12.69)分和(73.16±13.36)分,t=-0.999, t=0.324]和 3 个月卡氏行为评分[(67.14±9.94)分和 (70.67±10.33)分,t=-0.995, t=0.935, t=0.935

【关键词】 肝门胆管肿瘤; 光动力治疗; 梗阻性黄疸; 预后

基金项目:国家自然科学基金青年基金项目(82203856);安徽省重点研究与开发计划项目(2022e07020006)

## Clinical efficacy of endoscopic photodynamic therapy combined with stent placement for obstructive jaundice in unresectable hilar cholangiocarcinoma

Wang Gang<sup>1</sup>, Tang Haizheng<sup>1</sup>, Feng Hu<sup>1</sup>, Huang Hao<sup>1</sup>, Xu Kai<sup>2</sup>, Wei Yajun<sup>1</sup>, Xu Shibo<sup>1</sup>, Wu Bo<sup>3</sup>, Wang Cheng<sup>1</sup> Department of Biliary and Pancreatic Surgery, The First Affiliated Hospital of University of Science and Technology of China (Anhui Provincial Hospital), Division of Life Sciences and Medicine, University of Science and Technology of China, Hefei 230001, China; <sup>2</sup>Department of General Surgery, Anhui No. 2 Provincial People's Hospital, Hefei 230041, China; <sup>3</sup>Department of General Surgery, Tongling Municipal Hospital, Tongling 244000, China

 $Corresponding\ author:\ Wang\ Cheng,\ Email:\ shengyiwang cheng@126.com$ 

[ Abstract ] Objective To investigate the clinical efficacy of endoscopic photodynamic therapy

 $\textbf{DOI:}\,10.3760/cma.j.cn321463-20230706-00078$ 

收稿日期 2023-07-06 本文编辑 钱程

引用本文: 王刚, 汤海正, 冯虎, 等. 内镜下光动力治疗联合支架置人在不可切除肝门部胆管癌梗阻性黄疸中的疗效分析 [J]. 中华消化内镜杂志, 2024, 41(3): 198-203. DOI: 10.3760/cma. j. cn321463-20230706-00078.



(PDT) combined with biliary stent placement for obstructive jaundice in unresectable hilar cholangiocarcinoma. Methods Clinical data of a total of 43 patients with obstructive jaundice in unresectable hilar cholangiocarcinoma admitted to the First Affiliated Hospital of University of Science and Technology of China (40 cases) and Tongling Municipal Hospital (3 cases) from January 2020 to January 2023 were retrospectively analyzed. Patients were divided into the stent group (n=23, endoscopic biliary stent placement) and the combination group (n=20, endoscopic PDT combined with biliary stent placement). The bilirubin decline, stent patency time, postoperative Karnofsky performance score (KPS), complications and prognosis data of the two groups were compared. Cox regression multivariate analysis was used to explore the influencing factors for survival of the patients. Results 
There was no significant difference in general data between the two groups (P>0.05). The stent patency time in the combination group was 204.53 days (95%CI: 143.75-265.32 days), which was longer than that in the stent group (138.36 days, 95%CI: 95.38-181.34 days), with no significant difference (P=0.091). Median bilirubin decreases in the stent group and the combination group were 30.10 µmol/L and 9.40 µmol/L, respectively, with no significant difference (Z=-0.243, P=0.808) at 1 week after surgery. There was no significant difference in KPS at 1 month (69.09± 12.69 VS 73.16 $\pm$ 13.36, t=-0.999, P=0.324) and 3 months after the surgery (67.14 $\pm$ 9.94 VS 70.67 $\pm$ 10.33, t=-0.935, P=0.358) in the stent group and the combination group. The overall survival time of the combination group was 267.38 days (95%CI: 186.93-347.83 days), significantly longer than that of the stent group (140.41 days, 95%CI: 97.38-183.45 days) (P=0.017). The Cox regression multivariate analysis showed that endoscopic PDT combined with biliary stent placement was an independent protective factor for survival (HR=0.457, 95%CI: 0.212-0.986, P=0.046). Conclusion Endoscopic PDT combined with biliary stent placement could effectively relieve obstructive jaundice, improve quality of life and ultimately prolong the survival time of unresectable hilar cholangiocarcinoma patients.

[Key words] Klatskin tumor; Photodynamic therapy; Obstructive jaundice; Prognosis

Fund program: National Natural Science Foundation for Young Scholars (82203856); Key Research and Development Project of Anhui Province (2022e07020006)

肝门部胆管癌是指发生于胆囊管开口以上,肝内二级肝管以下的区域性胆管恶性肿瘤,占所有胆管肿瘤的50%~70%。由于其起病隐匿和局部复杂的解剖关系,早期诊断困难,当患者出现黄疸等临床表现时往往已处于中晚期。根治性手术切除是最有效的治疗方法,然而由于上述原因,其手术根治率低,术后复发率高,因此临床预后较差[12]。对于手术无法达到根治效果的,主要治疗重点在于解除胆道梗阻、通畅胆道引流,治疗目的在于提高生活质量和延长生存期。

近年来光动力治疗(photodynamic therapy, PDT)是指南推荐的一种消融疗法,《肝门部胆管癌规范化诊治专家共识(2015)》<sup>[3]</sup>和美国国立综合癌症网络(National Comprehensive Cancer Network, NCCN)指南<sup>[4]</sup>中均提出胆道腔内PDT可使胆管腔内肿瘤细胞坏死、脱落,从而减轻胆管狭窄。目前胆管癌的PDT治疗方案包括联合支架置人和其他辅助治疗等<sup>[5-6]</sup>,但PDT在肝门部胆管癌中的临床疗效尚处于起步阶段,缺少可靠的多中心循证医学证据。因此,本研究旨在了解PDT在不可切除肝门部胆管癌梗阻性黄疸患者中的有效性和安全性。

## 资料与方法

## 一、一般资料

回顾性分析 2020年1月至2023年1月在中科 大附一院(40例)和铜陵市人民医院(3例)收治的 共43例不可切除肝门部胆管癌发生梗阻性黄疸患 者的临床资料。纳入标准:(1)经多学科诊疗团队 (multidisciplinary team, MDT)会诊确认无法行根 治性手术切除术者(残余肝体积不足、肿瘤累及血 管无法切除重建或已有远处转移等);(2)存在胆 管 狭 窄 者;(3) 卡 氏 行 为 评 分(Karnofsky performance score, KPS)≥70分;(4)术后未行放、化 疗等辅助治疗者。排除标准:(1)一般情况较差、 恶病质或无法耐受手术和麻醉者;(2)对光敏剂过 敏,有较重皮肤病、血液系统疾病或肝肾功能损伤 者;(3)基础病控制极差者;(4)有精神疾病或智力 障碍,无民事行为能力者。符合上述条件者根据 患者个人意愿接受单纯胆管支架置入或PDT联合 胆管支架置入治疗,前者定义为支架组(n=23),后 者定义为联合组(n=20)。本研究经中国科学技术 大学附属第一医院(安徽省立医院)伦理委员会批 准(编号:2022KY162)。所有患者自愿参加,并签 署知情同意书。

## 二、治疗方法

入院后常规检查患者血清学指标,包括血常 规、生化、CA19-9、CA50等,手术当天清晨再次检验 患者的血常规、肝功能指标,并以此作为术前参照 指标。两组手术操作方式如下。支架组:常规内镜 下插管,行内镜逆行胰胆管造影术(endoscopic retrograde cholangiopancreatography, ERCP), 后在内 镜下沿导丝置入胆管圣诞树塑料支架(美国COOK 公司),支架于胆管内越过胆管肿瘤 2~3 cm,另一侧 末端留置于十二指肠乳头开口外1~2 cm。联合组: 血卟啉注射液(喜泊分,规格为5 mL:25 mg,重庆迈 乐生物制药有限公司)皮试阴性后以每公斤体重 5 mg 加生理盐水 250 mL在1h内静脉滴注。使用 药物后嘱患者避光,48h后在ERCP下通过导丝将 PDT柱状光纤头准确引导至胆管病变处固定,激光 波长为630 nm,治疗时根据病灶大小调节输出功 率,经激光功率计检测出光端实际输出功率,使治 疗区功率密度为2000~3000 W/m²,终端能量密度 为 150~300 J/cm², PDT 治疗后, 沿光纤外套管置人 0.035 英寸(1 英寸=2.54 cm)导丝,沿导丝使用推送 器置入胆管圣诞树塑料支架,支架于胆管内越过胆 管肿瘤 2~3 cm,另一侧末端留置于十二指肠乳头开 口外 1~2 cm。

## 三、研究指标及定义

统计分析两组患者的一般资料、支架置入根数、支架通畅期、术后1周胆红素下降程度、术后1个月及3个月KPS、并发症发生情况及预后资料。术后1周胆红素下降程度为总胆红素下降值/术前总胆红素。支架通畅期为自支架置入至胆红素水平升高时间。围手术期并发症发生情况包括ERCP术后相关并发症及光敏反应。

## 四、随访

患者出院后定期通过电话、微信等方式随访, 随访至患者死亡或截止日期为2023年1月31日。 随访内容包括患者每4周的胆红素指标、生活质量、有无相关并发症和其他不适及生存状况。

## 五、统计学方法

采用 SPSS 21.0 软件进行统计分析。符合正态分布的定量资料以 $\bar{x}$ ±s</sup>表示,两组间均值的比较采用独立样本t检验;非正态分布的定量资料以M( $Q_1,Q_3$ )表示,两组间分布比较采用 Mann-Whitney U检验。定性资料以例(%)表示,采用卡方检验,当存在理论频数为 1~5 之间时,使用连续校正的卡方检验;当存在理论频数小于 1 时,使用 Fisher 确切概率法。支架通畅期及总体生存期使用 Kaplan-Meier 曲线分析(log-rank 法)。多因素 Cox回归分析用于确定生存期的独立影响因素。P<0.05 认为差异有统计学意义。

## 结 果

## 一、一般资料

支架组患者共23例,联合组患者共20例,两组患者的性别、年龄、有无高血压和(或)糖尿病、术前 KPS、术前总胆红素、术前CA19-9、术前CA50、狭窄段长度和Bismuth分型等一般资料差异均无统计学意义(P>0.05,表1)。

## 二、临床疗效

两组患者在内镜下置入的支架根数为1或2根,差异无统计学意义。术后1周胆红素下降值和下降百分比亦差异无统计学意义(表2)。术后1个月支架组和联合组分别存活22例和19例患者,

表1 采用联合治疗和单独支架治疗不可切除肝门部胆管癌患者的一般资料比较
-------------------------------------

项目	联合组	支架组	统计量	P值
例数	20	23		
性别(男/女)	11/9	15/8	$\chi^2 = 0.467$	0.494
年龄(岁,x±s)	69.60±10.14	71.17±11.50	t=-0.473	0.639
高血压、糖尿病(有/无)	13/7	15/8	$\chi^2 = 0.000$	0.988
术前KPS(分,x±s)	71.50±14.96	69.57±12.61	t=0.460	0.648
术前总胆红素 $[\mu mol/l, M(Q_1,Q_3)]$	167.05 (59.65, 254.98)	250.20 (161.90, 315.20)	Z=-1.485	0.137
术前 CA19-9[U/mL, $M(Q_1,Q_3)$ ]	285.73 (45.46,850.98)	1 000.00 (93.65,1 000.00)	Z=-1.508	0.132
术前 CA50[IU/mL, $M(Q_1,Q_3)$ ]	173.80 (47.43,271.75)	120.39 (39.58,500.00)	Z=-0.272	0.786
狭窄段长度(cm,x±s)	3.08±1.28	2.76±1.04	t=0.889	0.379
Bismuth分型(例, I + II / III + IV)	10/10	9/14	$\chi^2 = 0.512$	0.474

注:KPS指卡氏行为评分;联合组采用光动力治疗联合支架置入

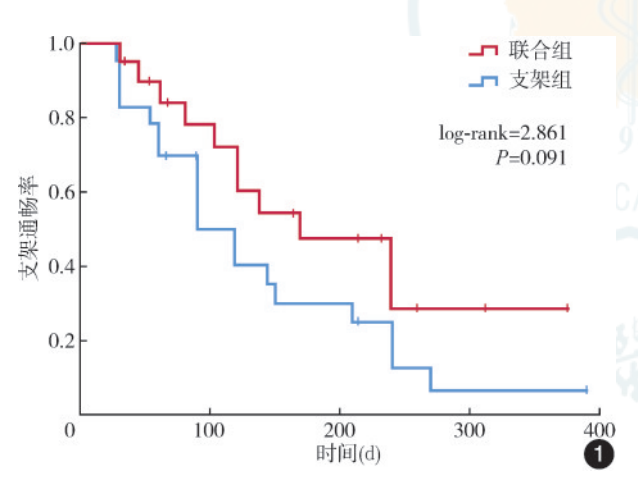
组别	例数	支架根数(x̄±s)	术后 $1$ 周总胆红素下降值 $\left[ \mu \text{mol/L}, M(Q_1, Q_3) \right]$	术后 $1$ 周总胆红素下降程度 $[100\%, M(Q_1, Q_3)]$
联合组	20	1.75±0.44	9.40 (-23.78,74.35)	11 (-33,33)
支架组	23	1.61±0.50	30.10 (-11.50,67.20)	11 (-25,21)
统计量		t=0.974	Z=-0.243	Z=-0.426
P值		0.336	0.808	0.670

表2 采用联合治疗和单独支架治疗不可切除肝门部胆管癌患者的治疗情况比较

KPS分别为(69.09±12.69)分和(73.16±13.36)分,差异无统计学意义(t=-0.999,P=0.324)。术后3个月支架组和联合组分别存活14例和15例患者,KPS分别为(67.14±9.94)分和(70.67±10.33)分,差异无统计学意义(t=-0.935,P=0.358)。术后支架组和联合组的支架通畅时间分别为138.36 d(95%CI:95.38~181.34 d)和204.53 d(95%CI:143.75~265.32 d),联合组通畅时间长于支架组,但差异无统计学意义(P=0.091,图1)。

## 三、生存分析

支架组和联合组的总体生存期分别为140.41 d

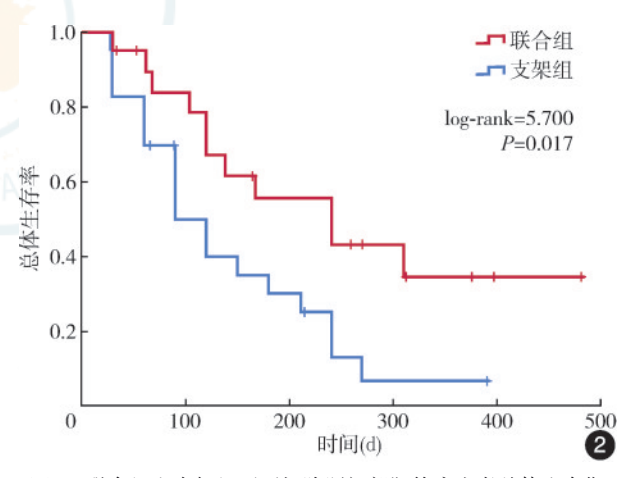


**图1** 联合组和支架组不可切除肝门部胆管癌患者支架通畅时间的 Kaplan-Meier 曲线分析

(95%CI: 97.38~183.45 d) 和 267.38 d (95%CI: 186.93~347.83 d),联合组生存时间显著长于支架组,差异有统计学意义(P=0.017,图 2)。将可能影响总体生存期的相关因素纳入Cox回归分析,单因素分析结果表明,PDT联合支架置入和较早的Bismuth分型能延长患者的生存期。多因素分析结果表明,PDT联合支架置入是患者总体生存期的独立保护性因素(HR=0.457,95%CI:0.212~0.986,P=0.046,表3)。

## 四、术后并发症情况

术后并发症方面,两组均无ERCP相关出血和



**图2** 联合组和支架组不可切除肝门部胆管癌患者总体生存期的 Kaplan-Meier 曲线分析

表3 影响不可切除肝门部胆管癌患者总体生存期的Cox回归分析

76 D	单因素分析		多因素分析	
项目	HR(95%CI)	P值	HR(95%CI)	P值
组别(PDT治疗联合支架置入/单纯支架置入)	0.422(0.198~0.901)	0.026	0.457(0.212~0.986)	0.046
性别(女/男)	1.440(0.690~3.005)	0.331		
年龄(≥70岁/<70岁)	1.250(0.599~2.607)	0.552		
曼性病(有/无)	1.009(0.478~2.130)	0.981		
术前KPS(≥70分/<70分)	1.391(0.667~2.903)	0.379		
术前总胆红素(≥208 μmol/L /<208 μmol/L)	1.017(0.493~2.096)	0.964		
<b>柃前 CA19-9(≥515 U/mL /&lt;515 U/mL)</b>	2.018(0.945~4.311)	0.070		
术前 CA50(≥228 IU/mL /<228 IU/mL)	1.001(1.000~1.003)	0.302		
挟窄段长度(≥2.91 cm /<2.91 cm)	0.750(0.365~1.541)	0.434		
Bismuth分型(Ⅲ+Ⅳ/I+Ⅱ)	2.306(1.071~4.964)	0.033	2.119(0.971~4.622)	0.059

注:PDT指光动力治疗;KPS指卡氏行为评分

死亡病例。支架组术后有2例高淀粉酶血症,3例 胆道感染,并发症发生率为21.74%。联合组术后 有1例急性胰腺炎,2例胆道感染,并发症发生率为 15.00%。两组患者在各并发症发生率方面差异无 统计学意义(表4)。联合组患者术后均有不同程 度的皮肤色素沉着,以面部为甚,1例出现颜面水 肿,均在保守治疗后好转。

表 4 采用联合治疗和单独支架治疗不可切除肝门部胆管 癌患者并发症发生情况比较

组别	例数	高淀粉酶血症 [例(%)]	急性胰腺炎 [例(%)]	胆道感染 [例(%)]
联合组	20	0(0.00)	1(5.00)	2(10.00)
支架组	23	2(8.70)	0(0.00)	3(13.04)
统计量				$\chi^2$ =0.000
P值		0.491 <sup>a</sup>	0.465 <sup>a</sup>	$1.000^{\mathrm{b}}$

注:联合组采用光动力治疗联合支架置人;"采用Fisher确切概率法;<sup>b</sup>采用连续校正的卡方检验

## 讨 论

根治性RO切除是肝门部胆管癌的首选治疗方式,由于病变位置特殊、极易侵犯门静脉、肝动脉、周围浸润和肝转移,因此很多患者难以获得根治性手术切除。而正因为该病容易局部进展引起梗阻性黄疸,因此局部的姑息治疗是一种不错的选择。内镜下胆管支架置入术是目前在临床中应用较为广泛的通畅胆道的方法,能有效改善肝功能,提高生活质量,但胆管支架本身不具有抗肿瘤的作用,因此对生存期无明显改善。

胆管癌行 PDT 是一种相对较新的靶向肿瘤消融疗法,其是由静脉注射光敏剂,使得药物在胆管癌肿瘤区局部浓聚,而后通过内镜技术导入激光光纤,使得肿瘤组织被暴露在适当波长的非热源激光下,光敏剂被激活并产生单线态氧/自由基等活性氧物质,从而杀伤肿瘤细胞,减轻胆管狭窄[7]。目前,PDT已成为一种有效的肿瘤微创治疗手段,可用于多种癌前病变和恶性肿瘤的治疗,尤其是各种空腔器官的肿瘤[8-9]。在本研究中,基于尽可能保证胆道通畅引流的原则,两组均置入1根或2根支架,支架数量差异无统计学意义。但联合组术后支架通畅时间为204.53 d(95%CI:143.75~265.32 d),稍长于支架组的138.36 d(95%CI:95.38~181.34 d),虽然差异无统计学意义,但中位时间已经延长。韩国的一项多中心非随机对照研究结果表明,在不可

切除肝门部胆管癌中,PDT治疗可以显著延长支架通畅时间<sup>[10]</sup>。另外本课题组在统计过程中发现,两组均有部分患者在治疗后有胆红素一过性上升的趋势,尤其以联合组为甚。除了胆道感染,考虑还与PDT治疗后胆管肿瘤细胞坏死脱落有关,因此在后续的治疗中应注意在治疗完成后仔细清理,同时应保证支架能跨越治疗区域。

在本研究中,联合组的总体生存期为267.38 d (95%CI: 186.93~347.83 d),显著高于支架组的 140.41 d(95%CI:97.38~183.45 d)。单因素分析结 果表明,PDT联合支架置人和较早的Bismuth分型能 显著改善患者的预后,而多因素研究更表明PDT联 合支架置入是不可切除肝门部胆管癌患者总体生存 期的独立保护因素。主要原因考虑为PDT不仅能 引起肿瘤细胞的坏死,还可以诱导肿瘤微血管的收 缩和血栓形成,同时其还可以诱导多种免疫细胞的 活化,增强免疫细胞的肿瘤杀伤效应[11]。但PDT毕 竟是不可切除肝门部胆管癌辅助治疗的一种方式, 虽然可以延长生存时间,其依然改变不了Bismuth 分型较晚患者预后差的事实。胡冰教授团队的研究 结果表明,在胆管癌及壶腹癌患者中,内镜下 PDT 联合支架置入的中位生存期为 327.0 d(95%CI: 215.9~438.1 d),显著长于单纯支架组的162.0 d (95%CI:125.0~199.0 d)[12]。在另一项纳入6个中心 的研究结果也表明,肝门部胆管癌的PDT治疗可在 不额外增加并发症的情况下显著提高患者生 存期[6]。

术后并发症方面,由于ERCP和PDT本身会造成消化道出血、穿孔、胰腺炎和光敏反应等并发症,因此PDT联合支架治疗的并发症也在所难免,本研究结果显示联合组和支架组并发症发生率差异无统计学意义。值得注意的是,有学者报道了1例肝门部胆管癌患者行PDT治疗后1个月,由于在治疗部位和右肝动脉之间形成内瘘从而导致胆道大量出血的病例[13]。因此在行PDT治疗时需要精确评估肿瘤的部位、深度及与肝脏血管的关系,从而在治疗时选择合适的功率密度和能量密度。

有研究证明在胆管癌接受PDT治疗的患者中,肝门部胆管癌的死亡风险较胆总管部位更低,其认为可能与肝门部胆管癌对PDT的反应好<sup>[12]</sup>,这使得我们在推广使用的同时也需要进一步的多中心研究去证实。此外,是何种免疫细胞在PDT治疗中产生怎样的生物学作用也是本课题组接下来的研究方向之一。最后,由于本研究为回顾性研究,其研

究性质导致出现选择偏倚、混杂偏倚等,所以不可避免地有一些局限性,如胆管支架通畅时间其实受支架内径、支架个数和Bismuth分型等多种因素影响,因此本团队后续将开展大样本的前瞻性队列研究,匹配可能的混杂因素,来进一步验证研究结果。

在国内,由于内镜设备、激光设备及光敏药物的限制,PDT技术在胆管癌诊疗中一直未得到广泛应用。本研究结果表明,对于不可切除肝门部胆管癌出现梗阻性黄疸的患者,内镜下PDT治疗联合支架置入可以显著延长患者的生存时间,同时也是安全可靠的。我们也有理由认为,如果能在胆管癌的癌前病变、术后复发患者中将内镜下PDT治疗进一步推广使用,或许有意想不到的收获。

利益冲突 所有作者声明不存在利益冲突

作者贡献声明 王刚:病例收集、统计分析、论文撰写;汤海正、冯虎、黄浩、徐凯(原为中科大附一院研究生,现就职于安徽省第二人民医院)、魏亚军:病例收集、数据整理;徐世波、吴波、王成:手术操作、研究指导

## 参考文献

- [1] Banales JM, Marin J, Lamarca A, et al. Cholangiocarcinoma 2020: the next horizon in mechanisms and management[J]. Nat Rev Gastroenterol Hepatol, 2020, 17(9): 557-588. DOI: 10.1038/s41575-020-0310-z.
- [2] Groot Koerkamp B, Wiggers JK, Allen PJ, et al. Recurrence rate and pattern of perihilar cholangiocarcinoma after curative intent resection[J]. J Am Coll Surg, 2015, 221(6): 1041-1049. DOI: 10.1016/j.jamcollsurg.2015.09.005.
- [3] 中国抗癌协会. 肝门部胆管癌规范化诊治专家共识(2015) [J]. 中华肝胆外科杂志, 2015, 21(8): 505-511. DOI: 10.3760/cma.j.issn.1007-8118.2015.08.001.

- [4] Benson AB, D'Angelica MI, Abrams TA, et al. Hepatobiliary cancers, version 2.2014[J]. J Natl Compr Canc Netw, 2014, 12(8):1152-1182. DOI: 10.6004/jnccn.2014.0112.
- [5] Yu Y, Wang N, Wang Y, et al. Photodynamic therapy combined with systemic chemotherapy for unresectable extrahepatic cholangiocarcinoma: a systematic review and meta-analysis[J]. Photodiagnosis Photodyn Ther, 2023, 41: 103318. DOI: 10.1016/j.pdpdt.2023.103318.
- [6] Chen P, Yang T, Shi P, et al. Benefits and safety of photodynamic therapy in patients with hilar cholangiocarcinoma: a meta-analysis[J]. Photodiagnosis Photodyn Ther, 2022, 37: 102712. DOI: 10.1016/j. pdpdt.2022.102712.
- [7] Kwiatkowski S, Knap B, Przystupski D, et al. Photodynamic therapy—mechanisms, photosensitizers and combinations[J]. Biomed Pharmacother, 2018, 106:1098-1107. DOI: 10.1016/j. biopha.2018.07.049.
- [8] 师佩, 李文洁, 顾兴, 等. 气道恶性肿瘤患者光动力治疗 24 例临床分析[J]. 中华肺部疾病杂志(电子版),2022,15(1): 15-19. DOI: 10.3877/cma.j.issn.1674-6902.2022.01.004.
- [9] Correia JH, Rodrigues JA, Pimenta S, et al. Photodynamic therapy review: principles, photosensitizers, applications, and future directions[J]. Pharmaceutics, 2021, 13(9): 1332. DOI: 10.3390/pharmaceutics13091332.
- [10] Lee TY, Cheon YK, Shim CS, et al. Photodynamic therapy prolongs metal stent patency in patients with unresectable hilar cholangiocarcinoma[J]. World J Gastroenterol, 2012, 18(39):5589-5594. DOI: 10.3748/wjg.v18.i39.5589.
- [11] Huis In 't Veld RV, Heuts J, Ma S, et al. Current challenges and opportunities of photodynamic therapy against cancer[J]. Pharmaceutics, 2023, 15(2): 330. DOI: 10.3390/pharmaceutics15020330.
- [12] 高道键, 叶馨, 吴军, 等. 内镜下光动力治疗在胆管癌及壶腹癌治疗中的作用研究[J]. 中华消化内镜杂志,2020,37(9): 621-627. DOI: 10.3760/cma.j.cn321463-20191221-00838.
- [13] Killeen RP, Torreggiani WC, Malone DE, et al. Hemobilia as a potential complication in patients treated with photodynamic therapy for unresectable cholangiocarcinoma[J]. Gastrointest Cancer Res, 2009,3(2):80.

## • 插页目次•

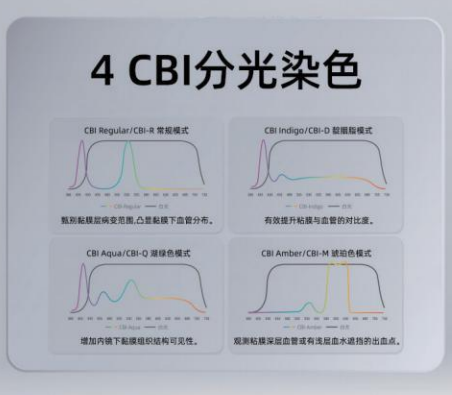
富士胶片(中国)投资有限公司	封2	河北武罗药业有限公司	188a
宾得医疗器械(上海)有限公司	对封2	四川健能制药开发有限公司	188b
深圳开立生物医疗科技股份有限公司	对中文目次1	江苏唯德康医疗器械有限公司	192a
爱尔博(上海)医疗器械有限公司	对中文目次2	爱尔博(上海)医疗器械有限公司	192b
北京麦康医疗器械有限公司	对英文目次1	南微医学科技股份有限公司	封3
上海澳华内镜股份有限公司	对英文目次2	奥林巴斯(北京)销售服务有限公司	封4
北京华亘安邦科技有限公司	对正文		

**40HU**IN 澳华内镜

## 4 K超高清内镜解决方案











400-921-0114



上海澳华内镜股份有限公司



股票代码:688212

上海市闵行区光中路133弄66号澳华内镜大厦(邮编201108)



ttps://www.aohua.com/

沪械广审(文)第250611-47149号 禁忌内容或注意事项详见说明书

立美舒®

MAGNESIUM SULFATE 国药准字H13022977



- 1.用于急性便秘,食物中毒或药物中毒时清洗肠道。
- 2.肠内异常发酵引起的下腹膨胀,还可与驱虫药合用。

## 【药理毒理】本品为缓泻类药品

本品给药途径不同呈现不同药理作用。

- 1、本品为溶积性泻药。口服不易被肠道吸收,停留在肠腔内,使肠内容积的
- 渗透压升高,阻止肠内水份的吸收,同时将组织中的水份吸收到肠腔中来,使肠内容积增大,对肠壁产生刺激,放射性的增加肠蠕动而导泄。
- 2、利胆作用,口服高浓度(33%)硫酸镁溶液,或用导管直接灌入十二指肠,可刺激十二指肠粘膜,反射性的引起总胆管括约肌松弛,胆囊收缩,促进胆囊排空,产生利胆作用。
- 3、消炎去肿,本品50%溶液外用热敷患处,有消炎去肿的功效 【不良反应】导泄时如服用浓度过大的溶液,可自组织中吸取大量水份而导致脱水,因此宜清晨空腹服用,并大量饮水,以加速导泄作用并缓解脱水。

【禁忌】尚不明确。





武罗药业

WOOLOVE PHARMACEUTICAL 河北武罗药业有限公司